

# 전차선용 Cu-TiB<sub>2</sub> 복합재료의 마모거동에 관한 분석

## The Analysis on Wear Behavior of Cu-TiB<sub>2</sub> Composite For Contact Wire

김정남\* 김태우\*\* 권성태\*\*\* 강재명\*\*  
Kim, Jung-Nam Lee, Tae-Woo Kwon, Sung-Tae Kang, Kae-Myung

### ABSTRACT

The wear behavior and the mechanical property of Cu-TiB<sub>2</sub> composites were examined. Cu-TiB<sub>2</sub> composites were fabricated by hot extrusion and cold drawing with TiB<sub>2</sub> contents(1~5vol.%) and the size of TiB<sub>2</sub> particles(10μm and 20μm). The pin-on-disk wear test was carried out under dry sliding wear conditions which loads varied with from 20N to 100N. At the time, counterpart wear material used SM45C. The experimental results showed that the friction coefficient and wear rate decreased with increasing the TiB<sub>2</sub> contents and decreasing the size of TiB<sub>2</sub> particle. Also, the depth of plastically deformed zone decreased with increasing the TiB<sub>2</sub> contents and decreasing the size of TiB<sub>2</sub> particle.

### 1. 서 론

전차선(contact wire)은 전동차의 pantograph와의 적절적인 접촉을 통하여 철도차량에 필요한 전류를 인입시켜주는 전류 전달선으로 전기전도도와 인장강도 및 내마모, 내열성, 내부식성 등의 확보가 필요하다.<sup>1)</sup> 현재 사용되고 있는 전차선은 99.9 %의 순Cu로 97.5% IACS 이상의 우수한 전기전도도를 가지고 있다.<sup>2)</sup> 그러나 최근 철도차량의 고속화에 대응하여 전차선의 장력 증가가 필요해 되고 있어 전차선의 인장강도를 비롯한 기계적 특성 향상이 요구되어지고 있다. 이에 Cu-Mg-Sn계 동합금, Cu-Ag계 동합금 등이 연구 또는 실용화되고 있다.<sup>1)</sup>

TiB<sub>2</sub>는 고강도(750MPa), 고융점(3225°C) 및 우수한 전기전도도(10% IACS)를 지니고 있어, 이를 강화상으로 한 분산강화형 Cu-TiB<sub>2</sub> 복합재료가 전차선 등의 전기 재료로 그 활용 가능성이 연구되고 있다.<sup>3~6)</sup> TiB<sub>2</sub>는 diamond, CBN(cubic boron nitride), BaC 다음의 높은 경도를 나타내며, Ti와 boron의 독특한 전자 배열로 인해 전기 전도성이 우수한 물질로 알려져 있다. 또한 화학적으로 안정한 특성을 지니고 있으며 용융 금속에 대한 저항성이 우수하다.<sup>6)</sup> 따라서, Cu-TiB<sub>2</sub> 복합재료는 종래의 전기적 특성을 유지하면서 동시에 우수한 기계적 특성을 가지 전기 재료로 사용시 마모로 인하여 발생되는 사용 수명 단축을 감소시킬 수 있으리라 기대된다.

본 연구에서는 Cu 분말과 TiB<sub>2</sub> 분말을 혼간 압출 공정에 따라 Cu-TiB<sub>2</sub> 복합재료를 제조하여, TiB<sub>2</sub> 분말 함량 변화와 입도 변화에 따른 Cu-TiB<sub>2</sub> 복합재료의 마모 특성을 조사하였다. 마모시험은 SM45C(87HRF)를 상대재로 하여 pin-on-disk 방식으로 시험하였으며, 20~100N의 하중변화와 2.5~4.5Hz의 sliding 속도변화를 주었다. 마모시험 후 SEM으로 마모표면을 관찰하였으며, 마모표면하의 subsurface zone의 경도 변화를 측정하여 마모기구를 해석하였다.

\* 한국철도기술연구원 웨어연구원, 비회원

\*\* 서울신영대학교 신소재공학과, 비회원

\*\*\* 한국철도기술연구원 선입연구원, 정회원

## 2. 시험 방법

### 2-1. 시험편 조작법

Cu-TiB<sub>2</sub> 복합재료 제조는 기체 조작으로 10μm의 Cu분말과 10μm와 20μm의 TiB<sub>2</sub> 분말을 강화상으로 하여 TiB<sub>2</sub> 함량을 1, 3, 5Vol%로 변화시켜 알간 압출법으로 제조하였다.<sup>10</sup> Fig. 1은 Cu-TiB<sub>2</sub> 복합재료 알간재의 미세조직을 나타낸 것으로, 배경의 TiB<sub>2</sub> 입자가 Cu기지의 전층에 비교적 균일하게 분포되었다. 또한, TiB<sub>2</sub>의 함량이 증가하여도 대체적으로 균일하게 분포된 것으로 나타났다.

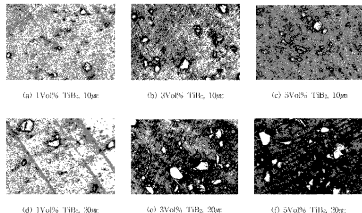


Fig. 1. Microstructure of Cu-TiB<sub>2</sub> particle reinforced composite

### 2-2. 기계적 및 전기적 물성 조사

이전 연구에서 조사한 TiB<sub>2</sub> 분말 함량 및 압도에 따른 Cu-TiB<sub>2</sub> 복합재료의 기계적 및 전기적 성능은 Table 1과 Fig. 2에 나타내었다. 압도가 비례하고 함량이 증가할수록 황복강도와 경도가 증가하였다. 반면 전기전도도는 TiB<sub>2</sub> 첨가량이 증가할수록 감소하였다. 이는 Cu기지 분말의 전기전도도가 약 88.5% IACS로서, 강화입자의 TiB<sub>2</sub>가 10% IACS의 전기적 특성을 가지고 해도, Cu기지내 자유전자와의 이동을 방해하는 요소로 사용하기 때문에 TiB<sub>2</sub> 첨가량이 증가할수록 전기전도도는 감소하게 된다. TiB<sub>2</sub> 입자 크기가 20μm인 것이 10μm보다 전기전도도가 대소 앞선데 이는 TiB<sub>2</sub>의 평균입도가 커지면 기지화의 계면 분율이 작아지 자유전자의 이동경로가 증가하게 되므로 전기전도도가 증가하는 것으로 생각된다.<sup>7</sup>

Table 1. Mechanical and electrical properties with a variation of TiB<sub>2</sub> particle content

Specimen	Cu (Vol%)	TiB <sub>2</sub> (Vol%)	TiB <sub>2</sub> particle size (μm)	Hardness (HvF)	Yield strength (MPa)	Electric conductivity (%IACS)
No.1	99	1	10	54	108	83.3
No.2	97	3	10	60	111	77.8
No.3	95	5	10	69	118	74.5
No.4	99	1	20	52	114	83.5
No.5	97	3	20	57	121	79.5
No.6	95	5	20	61	126	77.0

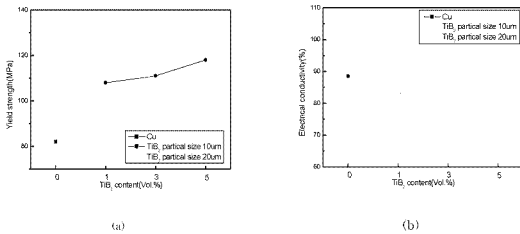


Fig. 2 The variation of properties with  $\text{TiB}_2$  content:  
(a) The variation of electrical conductivity (b) The variation of yield strength

### 2-3. 마모시험

$\text{TiB}_2$  분말 함량 및 입도에 따른  $\text{Cu}-\text{TiB}_2$  복합재료의 마모 시험을 SM45C(87HgF)를 상대재로 하여 pin-on-disk 방식으로 시험하였다. 마모거리 80m의 시험조건에서 20~100N 범위의 하중 변화 및 2.5~4.5Hz 범위의 속도 변화를 주었다. 마모시험을 수행하기에 앞서, 상대재와 주 시험편의 표면을 No. 1,000의 연마지로 연마하였으며, 아세톤으로 표면부를 세척하여 사용하였고 시험분위기는 상온, 진식분위기였다. 마모시험 후, 시험편의 마모감량 조사는 시험전, 후의 무게차를 자동지시경밀저울을 사용하여  $10^{-3}\text{g}$ 까지 측정하였다.

### 2-4. SEM 관찰 및 마모표면과 subsurface zone의 경도시험

시험전 각 시험편의 조직을 광학현미경으로 관찰하였고, 마모시험 후 SEM으로 마모 표면을 관찰하여 표면 손상 상태와 마모탈락분의 형태를 관찰하였다. 또한, 마모시험 후 시험편은 표면과 수직방향으로 직선하여 마모표면 아래의 subsurface zone의 미소 비커스 경도를 마모거리에 따라 측정하여 기공경화 현상의 발생유무를 조사하였다. 미소 비커스 경도시험 조건은 하중 200g, 하중 유지시간은 10초였다.

### 3. 결과 및 고찰

#### 3.1 마모시험

Fig. 3은  $\text{TiB}_2$  분말 함량 및 입도에 따른  $\text{Cu}-\text{TiB}_2$  복합재료의 마모율과 마찰계수가 나타낸 것이다. 모든 시험편에서 하중이 증가함에 따라 마모율과 마찰계수가 증가하였고, 대략 0.22~0.45의 마찰계수를 보았다. sliding 속도가 증가할수록 다소 차이는 있으나 마모율과 마찰계수가 감소하는 경향을 보았으며, 그 범위는 대략 0.33~0.41이었다. 이는 일정 sliding 속도 이상에서는 마모탈락편이 상대재와 주 시험편의 계면에서 고체 윤활제의 역할을 하는 것으로 생각되어 진다.

또한  $\text{TiB}_2$ 의 함량이 증가할수록, 입도가 작을수록 마모율과 마찰계수가 낮았다. 이전 연구에서  $\text{TiB}_2$  함량이 증가할수록, 평균 입도가 작을수록 높은 항복강도 및 경도를 나타낼 것으로 보아서 강화상인  $\text{TiB}_2$ 의 첨가로 인한 기계적 불성 향상으로 마모 저항성 역시 높아진 것을 알 수 있다.

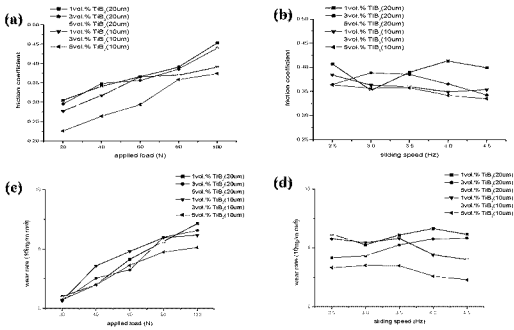


Fig. 3 Friction coefficients & Wear rates of Cu-TiB<sub>2</sub> composites

(a)(c) : a variation of applied load, (b)(d) : a variation of sliding speed

### 3.2 subsurface zone의 미소경도시험

마모표면 아래의 가공경화현상을 조사하기 위하여 마모시험 후의 시험편을 수직으로 절단하여 마모거리에 따른 미소바이카스 경도를 측정하였다. Fig. 4 (a)는 20μm, 5vol.% TiB<sub>2</sub>의 하중변화에 따른 마모표면 아래의 경도 변화를 나타낸 것이다. 하중이 증가할수록, 경도 변화가 커지고 있음을 알 수 있다. (b)는 TiB<sub>2</sub>의 함량 및 임도에 따른 경도변화를 나타낸 것이다. TiB<sub>2</sub>의 함량이 많고, 임도가 작을수록 마모표면 아래의 경도 변화가 작아지고 있다. 10μm, 5vol.% TiB<sub>2</sub>는 Hv103~Hv92의 경도 변화를 나타내고 있고, 변화가 일어나는 깊이는 대략 50~100μm 범위였으며, 20μm, 1vol.% TiB<sub>2</sub>는 각각 Hv90~Hv73, 50~250μm였다. 이러한 표면하부 subsurface zone의 경도 변화를 마모 특성과 연관시킬 때, 경도 변화가 일어나는 영역 즉, 마모표면에서의 소성유동에 의하여 가공경화가 발생하고 있음을 알 수 있으며 변화 영역의 깊이가 작을수록 마모율이 낮음을 알 수 있다.

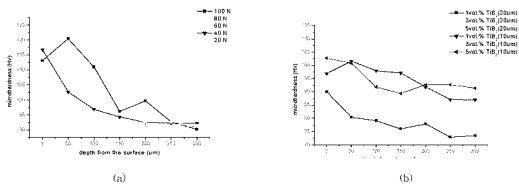


Fig. 4 Hardness as a function of depth below the wear surface

(a) a variation of hardness with applied load, 20μm, 5vol.%TiB<sub>2</sub>, (b) a variation of hardness with Cu-TiB<sub>2</sub> particle

### 3.3 마모표면 관찰

Fig.5는 1vol.% and 5vol.% TiB<sub>2</sub>의 마모표면의 SEM 관찰 결과를 나타내고 있다. TiB<sub>2</sub>의 함량 및 임도에 따라 마모 표면의 손상 정도가 상이하였다. TiB<sub>2</sub> 임도가 클수록, 깊은 wear groove가 다수 관찰되고 있으며, flake형의 마모탈락분이 주류를 이루고 있으면서, 표면균열이 발생되었음이 관찰되었다. 또한, 마모탈락분의 석층현상도 관찰되었다(Fig. 5b). 반면에, TiB<sub>2</sub> 임도가 작은수록 미세하고 좁은 scratch가 주류를 이루고 있었다(Fig. 5a,c). 본 연구에서 모든 시험편의 마모표면과 마모탈락분을 나타내지는 못했지만, sliding 속도가 증가할수록, 마모탈락분의 형태가 flake형에서 round형태로 변화하였다.

위의 관찰 결과를 subsurface zone의 미소경도 변화와 연관시켜 생각해 볼 때, 마모표면에서 가공경화 현상이 일어났음을 다시 한번 확인할 수 있다. 즉, 마모표면에서 일어난 소성유동 때문에 subsurface zone은 가공경화의 영향을 받게 된다. 그 결과, 가공경화된 층과 가공경화의 영향을 받지 않은 층과의 계면에서 미소균열이 발생하는 것으로 생각된다.

이상과 같이 마모기구를 표면층의 가공경화와 미소균열의 발생으로 생각할 때 이들은 전위에 관계한 것이 분명하다. 따라서, 결국 마모표면의 subsurface에서의 전위의 발생과 분포, 이들의 상호작용, 축적 등과 관련되고 있음을 예상되어진다. Sub는 마모 기구를 이러한 전위론적 방법(delamination theory)으로 설명하고 있으나 아직 분명하게 규명되어지진 않았다.<sup>39</sup>

또한, 위의 가공경화 현상에 관하여 Marich 등은 합금원소의 첨가로 재료 자체의 항복강도를 증가시키면 가공경화층을 감소시킬 수 있다고 보고하고 있어 본 시험의 결과와도 일치하고 있다.<sup>39</sup>

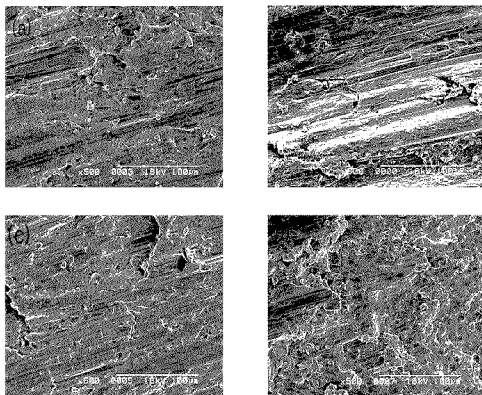


Fig. 5 SEM micrographs of worn surfaces at a sliding speed of 3.5Hz at an applied load 60N:  
(a) 1vol%, 10μm TiB<sub>2</sub>, (b) 1vol%, 20μm TiB<sub>2</sub>, (c) 5vol%, 10μm TiB<sub>2</sub>, (d) 5vol%, 20μm TiB<sub>2</sub>

#### 4. 결론

- 1) TiB<sub>2</sub>의 함량이 증가할수록, 입도가 작을수록 인장강도와 경도가 증가하였고, TiB<sub>2</sub>의 함량이 증가할수록, 입도가 클수록 전기전도도는 감소하였다. Cu-TiB<sub>2</sub> 복합재료의 이런 물성은 기존의 순 Cu 전자선에 비해 전기전도도는 떨어지나, 충분한 기계적 성질을 지닌 것으로 판단되어 향후 전자선 소재로 활용될 수 있으리라 기대된다.
- 2) 하중이 증가함에 따라 마모율과 마찰계수가 증가하였고, sliding 속도가 증가할수록 다소 차이는 있으나 마모율과 마찰계수가 감소하는 경향을 보였는데, 이는 일정 속도 이상에서는 마모탄력성이 고체 유탄세의 역할을 하는 것으로 생각되어 진다. 또한 TiB<sub>2</sub>의 함량이 증가할수록, 입도가 작을수록 마모율과 마찰계수가 낮았다.
- 3) 마모표면 아래의 가공강화 현상을 조사하기 위하여 마모시험 후의 시험편을 수직으로 절단하여 마모거리에 따른 미소비커스 정도를 측정한 결과, TiB<sub>2</sub>의 함량이 많고, 입도가 작을수록 마모표면 아래의 경도 변화가 작았다.
- 4) 마모표면을 SEM으로 관찰한 결과, TiB<sub>2</sub> 입도가 클수록, 깊은 wear groove가 다수 관찰되고 있으며, flake형의 마모탄력분이 주류를 이루고 있으면서, 표면균열이 발생되었음이 관찰되었다. 반면에, TiB<sub>2</sub> 입도가 작을수록 미세하고 짧은 scratch가 주류를 이루고 있었다.
- 5) 마모표면에서 일어난 소성유동 때문에 subsurface zone은 가공강화의 영향을 받게 되고 그 결과, 가공강화된 층과 가공강화의 영향을 받지 않은 층과의 제면에서 미소균열이 발생하는 것으로 생각된다. 이상과 같이 마모기구를 표면층의 가공강화와 미소균열의 발생으로 생각할 때 이들은 전위에 관계할 것이 분명하며, 결국 마모표면의 subsurface에서의 전위의 발생과 분포, 이들의 상호작용, 축적 등과 관련되고 있다고 생각되어 진다.

#### 참 고 문 헌

1. 한평원 외 (1999), “고속전자선 시스템 개발”, 보고서, pp.88
2. 철도용품 표준규격(KRS) 6145-3144사 (2003)
3. Jong-sang Lee (1998), Scripta Materialia, 39, 8, pp.1063-1069,
4. Tae-Hyeong Kim (1994), Journal of Korea Powder Metallurgy Institute, 1, 2, pp.174-180
5. Bo-Soo Kim (1994), Journal of Korea Powder Metallurgy Institute, 1, 2, 167-173
6. 윤재문 (1995), “SiC/TiB<sub>2</sub> 복합재료의 미세구조와 기계적 성질에 관한 연구”, 석사학위논문, 한양대학교, pp.16-20
7. Kae-Myung Kang (2004), Jong-Un Choi, Korea Journal of Materials Research, 14(1), pp.74
8. N. P. Suh (1973), Wear, 25, pp.111
9. S. Marich, P.Curio (1978), ASTM STP 644